

可動壁に作用する振動圧力について

山口大学 大原資生

振動台を用いて、砂箱内(高さ30cm, 幅60cm, 長さ100cm)に乾燥砂, 飽和砂を満たして、可動壁に作用する振動圧力を測定した結果を述べる。

1. 可動壁は下端がヒンジで上端を板べ木で支えられており、土圧計は中央の壁につけられて、振動方向に平行な側壁の影響が入らないようにしてある。板べ木の強さを加えて壁の剛度、すなわち壁の単位回転角当りのモーメント M/β を変化する。この実験では壁の剛度は4段階にかえらる。又、土圧計は深さ5cm, 15cm, 25cmの位置につけられ、その $\Delta/R = 0.11 \times 10^{-2} \text{ cm}^2/\text{kg}$ (Δ : 単位圧力当りの受压面の中心沈み, R : 受压面の半径) である。

2. 乾燥砂の実験結果は図-1に示す。乾燥砂の結果はすべて砂詰め後第1回目の振動にて3mにて、点線、破線、鉛線は壁の剛度がそれそれ 14.3×10^5 , 6.9×10^5 , 2.1×10^5 , $1.1 \times 10^5 \text{ kg/cm}$ の場合の結果である。実線は物部式による値である。壁の剛度が小さくなると、深さ15cm, 25cmの点の測定値は一点物部値に近づく傾向を見ることが出来たが、深さ5cmの測定値はそのようではなくて、振動土圧の鉛直分布は可動壁の場合よりも三角形分布とはならぬ。

われわれは過去に可動壁に作用する振動土圧を裏込め盤を弾性体として計算した。

それは固定壁の場合の振動土圧 P_H と壁のみが振動する場合の振動土圧 P_M と差引いて求めたという方法である。この場合の理論解 P_H には壁面での値は発散級数となつて求められるべきの欠点をもつてゐる。実験結果との対応においても、この計算結果は壁面の剛度が小さい所では P_M の値が P_H に比して過大なものとなつて実験結果と一致しないこととなる。この原因について種々検討してみたところ、また二つと解決出来たので記しておきたい。一つは種々の條件より考えて、 P より P_M の方に問題があると思われるが、実験結果と計算結果とを比較して、两者が一致するためには P_M をいくらにするかといふことをしてみる。その結果が図-2である。

実験値と計算値と一致させると必要は P_M と計算上の P_M の比では $R\beta H/\rho$ に直線比例していることわかるが、壁の剛度が異なると、それを小別の直線となる。しかも、それだけ互いに平行であることは興味深い。特にこの図の M/β を記しておき直線は九点で校正放換が行われた高さ15cmの大模型による実験結果である(この場合の壁の剛度は実測されていない)が、この実験結果の直線と他のものとは平行となつている点は興味がある。

* 現在、二点の事柄を理論、実験の両面より検討して、可動壁に作用する振動土圧を解明することを考えている。

3. 飽和砂の場合の動的隙水圧の実験値は図-3に示す。この動的隙水圧については種々理論も構立てられており、土木学会論文集108号に示したように、動的隙水圧の測定は受压面にスクリーン等をつけて水圧計が作用するようにして行わるべきであって、

その存在の可否もその場合の測定結果を定められなければならぬと思う。

図-3よりわかるように、可動壁の場合には通常の動水圧に近い動向降水压が実測土中压力としてわかる。又、著者の使用した土圧計の4%は非常に小さなので、飽和砂の振動圧力よりも、その値は乾燥砂と動向降水压の和の値に近いものと見て動向降水压の存在を肯定しう結果を得てゐることわかる。なお、飽和砂の実験では初回の振動時に異常水圧上昇があるるので、第3回目の振動による測定値とす。

図-1 乾燥砂の圧力振巾(第1回の振動による)

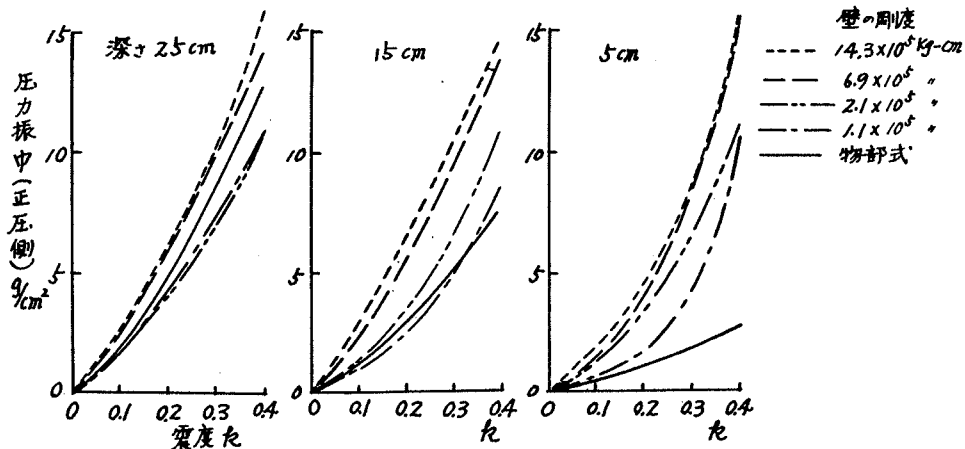


図-2

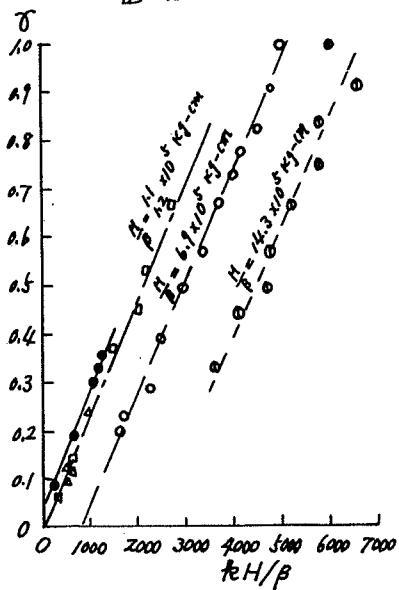


図-3 飽和砂の振動圧力振巾(第3回目の振動による)

壁の剛度 $1.1 \times 10^5 \text{ kg-cm}$
 — 饱和砂全圧 \times 乾燥砂圧と間隙水圧の和
 - - - 動向ゲキ水圧 \circ 動水圧理論値

